

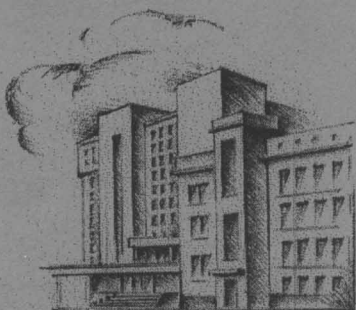
ISSN 1727-7108



НАУКОВИЙ ЖУРНАЛ

ВІСНИК

ТЕРНОПІЛЬСЬКОГО
ДЕРЖАВНОГО
ТЕХНІЧНОГО
УНІВЕРСИТЕТУ



2004
Том 9
№ 4

Головний редактор	Олег Шаблій
Заст. головного редактора	Петро Ясній
Відповідальний секретар	Борис Шелестовський

Редакційна колегія:

ТЕХНІЧНІ НАУКИ:

Олександр Андрейків, Богдан Гевко, Володимир Грицик, Ігор Гурей,
Орест Дубик, Петро Євтух, Микола Карпінський, Юрій Кузнєцов, Ігор Луців,
Володимир Мартиненко, Степан Нагорняк, Григорій Никифорчин,
Михайло Пилипець, Микола Приймак, Тимофій Рибак, Роман Рогатинський,
Петро Стухляк, Володимир Юкало, Богдан Яворський, Петро Ясній

ФІЗИКО-МАТЕМАТИЧНІ НАУКИ

(МЕХАНІКА ДЕФОРМІВНОГО ТВЕРДОГО ТІЛА, МАТЕМАТИЧНЕ МОДЕЛЮВАННЯ І ОБЧИСЛЮВАЛЬНІ МЕТОДИ)

Ярослав Бурак, Василь Дейнека, Леонід Дідух, Ярослав Драган, Василь Кривень, Михайло Ленюк, Михайло Михайлишин, Василь Осадчук, Михайло Петрик, Георгій Сулим, Олег Шаблій, Борис Шелестовський

Комп'ютерний набір, художнє і графічне оформлення: Любов Костик, Любов Марченко
Редактор: Галина Пеляк

© "Вісник Тернопільського державного технічного університету", 2004
ISSN 1727-7108

Свідоцтво про реєстрацію періодичного друкованого видання
ТР № 221 від 16.05.1997 р.

Адреса редакції:

46001, Тернопіль, вул. Руська, 56.

Тернопільський державний технічний університет імені Івана Пулюя

Телефони: (0352) 255798, 253585, факс: (0352) 254983

E-mail: publish@tu.edu.te.ua

Рекомендовано до друку Вченю радою Тернопільського державного технічного університету імені Івана Пуллю 7.12.2004 р., протокол № 8.

ВІСНИК
ТЕРНОПІЛЬСЬКОГО
ДЕРЖАВНОГО
ТЕХНІЧНОГО
УНІВЕРСИТЕТУ

2004. Том 9. № 4

Науковий журнал

Видається з 1996 р.

ЗМІСТ

МЕХАНІКА ТА МАТЕРІАЛОЗНАВСТВО

<i>Сяський А., Батинкіна Ю.</i> Передача сил до криволінійного отвору не нескінченої ортотропної пластинки стрижнями змінної жорсткості.....	5
<i>Іваницький Я., Бойко В.</i> Оцінка залишкової міцності та довговічності металоконструкцій шахтних копрів	12
<i>Гуцайлюк В., Окіпний І., Ясній О.</i> Вплив попереднього комбінованого розтягу на напруження сколювання.....	19
<i>Габрусєв В., Габрусєва І., Твардовська Н.</i> Дві осесиметричні задачі термопружності з круговими лініями розділу граничних умов для трансверсально ізотропного шару.....	25
<i>Степанов Г., Бабуцький А.</i> Вплив локального осесиметричного нагрівання труби на рівень залишкових напружень	32
<i>Букетов А., Стухляк П., Долгов М.</i> Дослідження поведінки епоксикомпозитних покриттів в умовах напруженого-деформованого стану після їх УФ-опромінення і магнітної обробки	36

**МАШИНОБУДУВАННЯ
ТА АВТОМАТИЗАЦІЯ ВИРОБНИЦТВА**

<i>Гевко Б., Гурик О., Зінь М., Дзюра В.</i> Технологічні методи підвищення точності виготовлення шліцевих отворів у деталях машин	45
<i>Розум Р., Гевко Р.</i> Силовий розрахунок самозавантажувального патрубка сипких матеріалів	50
<i>Нагорняк С., Зінь М., Капаціла Л.</i> Багатоваріантна структура форм контейнерів верстатів для вібраційної обробки	56
<i>Луців І., Семків Ю.</i> Модель процесу вібраційно - відцентрової обробки деталей типу тіл обертання.....	63
<i>Покінтелиця М., Клименко Ю.</i> Особливості процесу стружкоутворення при електрофрикційному розрізуванні заготовок дисковою пилою тертя.....	68

УДК 620.192.7

В. Гуцайлюк, канд. техн. наук; І. Окіпний; О. Ясній

Тернопільський державний технічний університет імені Івана Пулюя

ВПЛИВ ПОПЕРЕДНЬОГО КОМБІНОВАНОГО РОЗТЯГУ НА НАПРУЖЕННЯ СКОЛОВАННЯ

Досліджено вплив попереднього деформування комбінованим розтягом на напруження сколовання сталі 15Х2МФА після термообробки, яка моделює радіаційне окрихчення матеріалу корпусу реактора типу ВВЕР-440 під кінець терміну експлуатації.

Відомо, що попереднє пружнопластичне деформування (ППД) змінює не тільки характеристики механічних властивостей матеріалів, а й істотно впливає на опір крихкому руйнуванню [1, 2], ударну в'язкість [3], температуру в'язко-крихкого переходу [4]. В'язкість руйнування в умовах статичного навантаження після ППД може збільшуватись, зменшуватись, змінюватись нелінійно у залежності від температури, амплітуди попереднього пружнопластичного деформування та інше.

Оскільки опір крихкому руйнуванню в залежності від ППД і температури описують за допомогою локальних критеріїв руйнування, то у якості такого критерію можна використати напруження сколовання σ_{sc} , яке визначають за результатами випробування циліндричних зразків.

Аналіз результатів досліджень свідчить, що ППД може збільшувати або зменшувати напруження сколовання σ_{sc} в залежності від виду навантаження (квазістатичне, циклічне) і способу деформування (розтяг, стиск) [5-7].

Однак не достатньо висвітлене питання впливу на напруження сколовання попереднього деформування, яке поєднує статичну та циклічну складову.

Метою даної роботи є дослідження впливу параметрів попереднього деформування комбінованим розтягом (температури та амплітуд) на напруження сколовання σ_{sc} корпусної теплостійкої сталі.

Методика дослідження

Характеристики механічних властивостей та напруження сколовання визначали за одновісного розтягу гладких циліндричних зразків двох типорозмірів: діаметром робочої ділянки 8мм та довжиною робочої частини 20 мм та 5 мм і 10 мм відповідно.

Випробування проводили на сервогідравлічній випробувальній машині СТМ-100 виробництва АНТК імені О.К. Антонова (м. Київ), з керуванням від персонального комп'ютера типу IBM PC/AT.

Зразки попередньо деформували комбінованим розтягом (розтяг з накладанням циклічної складової) до рівня пластичної деформації $\epsilon_{pr} = 0,5\%; 1,0\%$ та $3,0\%$ в діапазоні температур $423\dots623\text{K}$.

Зразок нагрівали до заданої температури за допомогою електропечі, нагрівання якої регульувалося за допомогою стандартного високоточного регулятора температури типу ВРТ-2. Температура нагрівання зразка контролювалась хромель-алюмелевою термопарою, яка приварювалась до зразка. Похибка вимірювання та підтримання температури зразка не перевищувала $\pm 1\text{K}$.

Для внесення тензометричного давача з зони дії високої температури була реалізована вимірювальна схема, яка подана на рис. 1.

Схеми навантажування зразків подані на рис.2. Деформацію вимірювали тензометричним давачем, робочі елементи якого увімкнuto за мостовою схемою. Похибка вимірювання деформації не перевищувала $4 \cdot 10^{-5}\text{ mm/mm}$. Розмах циклічної складової напруження при комбінованому розтязі складав $\Delta\sigma = 50, 90, 110, 180$ і 220 MPa , частота навантаження $f=25\text{ Гц}$, де $\Delta\sigma=\Delta\sigma_{\max}-\Delta\sigma_{\min}$; $\Delta\sigma_{\max}$ і $\Delta\sigma_{\min}$ – найбільше і найменше напруження циклу.

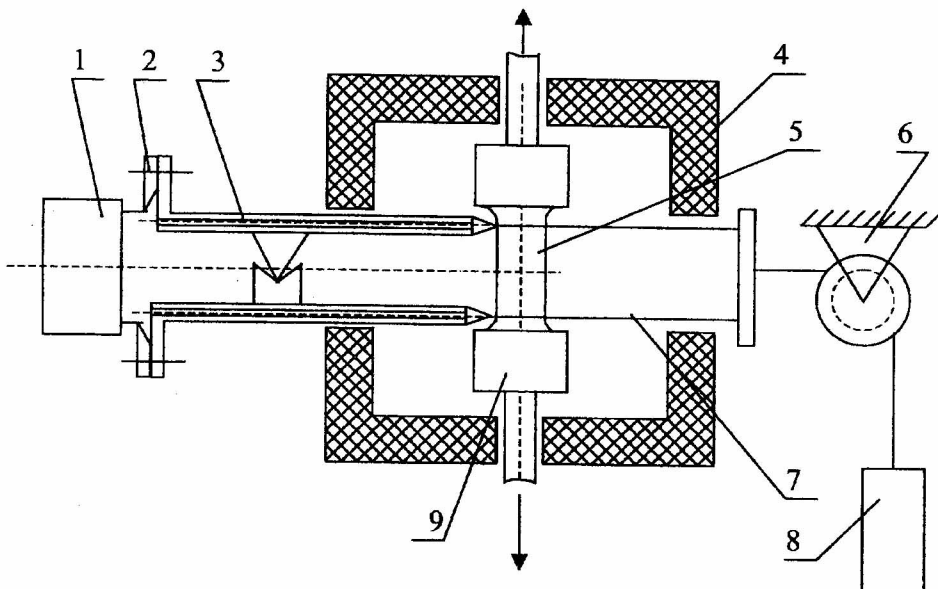


Рис. 1. Схема вимірювання деформації при ППІД у діапазоні температур 423...623К.

1 – тензодавач, 2 – ніж, 3 – подовжувач, 4 – піч, 5 – зразок, 6 – блок, 7 – трос, 8 – вантаж, 9 – захоплювач

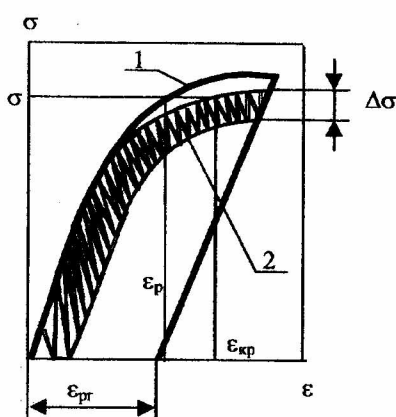


Рис. 2. Схеми навантажування.
1 – розтяг, 2 – комбінований розтяг
(розтяг з накладанням циклічної складової)

Зусилля Р та поздовжню деформацію дискретно реєстрували через 55 мсек, загальна кількість точок вимірювання задавалась до початку експерименту. Результати досліджень записувалися на магнітоносій і оброблялися у математичній оболонці MathCad. Паралельно для візуального контролю здійснювався запис діаграмами на двохкоординатний самописець в координатах "зусилля - поздовжня деформація".

Напруження скловання $\sigma_{ск}$ деформованого матеріалу визначали при температурі 77К у термоізольованій камері, заповненій рідким азотом.

Зразок встановлювався у захоплювач, один з яких (верхній) через кульовий шарнір з'єднаний з динамометром, а інший нерухомо закріплений на дні камери, яка таким чином кріпилась до рухомого штока.

Під час випробувань реєстрували зусилля Р та переміщення штока S на магнітоносій та виводилося на двохкоординатний самозаписувальний потенціометр. При визначенні $\sigma_{ск}$ діаграма зусилля – переміщення штока у всіх випадках була лінійною. Поперечна залишкова макроскопічна деформація після руйнування зразків

була відсутня. Коректними вважались результати випробувань, отримані на тих зразках, крихке руйнування яких відбувалось у межах робочої ділянки зразка.

Напруження сколювання σ_{ck} визначали за формулою:

$$\sigma_{ck} = P_k / S_k,$$

де P_k - зусилля руйнування;

$S_k = \pi \cdot d^2 / 4$ - площа поперечного перерізу зразка після руйнування;

D - діаметр зразка після руйнування.

Результати дослідження та їх обговорення

Хімічний склад і режими термообробки сталі 15Х2МФА наведені у праці [8].

Характеристики механічних властивостей сталі 15Х2МФА в діапазоні температур 77...623 К [8] подані в таблиці 1.

Таблиця 1

Характеристики механічних властивостей сталі 15Х2МФА

T, K	$\sigma_{0,2}$, MPa	σ_b , MPa	δ , %	ψ , %
77	1440	1590	3,10	2,90
293	1100	1160	16,6	67,2
423	956	1020	15,6	65,8
623	880	970	15,2	65,2

Параметри попереднього пластичного деформування та напруження сколювання приведені в таблиці 2.

Таблиця 2

Параметри попереднього пластичного деформування та напруження сколювання сталі 15Х2МФА

№ з/п	Температура, K	ε_{pr} , %	$\Delta\sigma$, MPa	σ_{max} , MPa	σ_{ck} , MPa
1	623	1,0	-	1019	1746
2	623	1,0	110	956,3	1618
3	623	0,5	-	936,8	1701
4	623	0,5	110	948,5	1504
5	423	1,0	-	1107	1706
6	423	0,5	-	1040	1680
7	423	1,0	90,0	1016	1565
8	423	0,5	90,0	1031	1602
9	623	3	-	1048	1789
10	623	✓ 3	110	1081	1686
11	423	✓ 3	90,0	1062	1725
12	77	-	-	-	1632
13	623	1	220	1124	1712
14	423	1	180	1126	1676
15	423	1	50,0	1150	1672

На рис. 3 представлено фотографії зламів циліндричних зразків, які попередньо деформували розтягом і комбінованим розтягом до 1,0 % при 623 К.

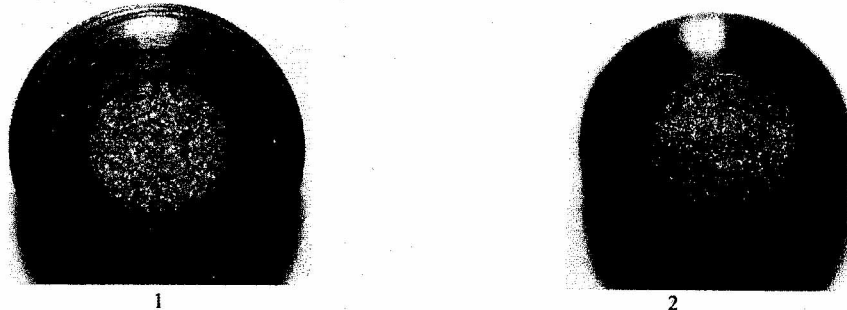


Рис. 3. Злами зразків після попереднього деформування розтягом (1) і комбінованим розтягом (2)

Залежність напруження сколювання від рівня попередньої пластичної деформації наведено в рис. 4.

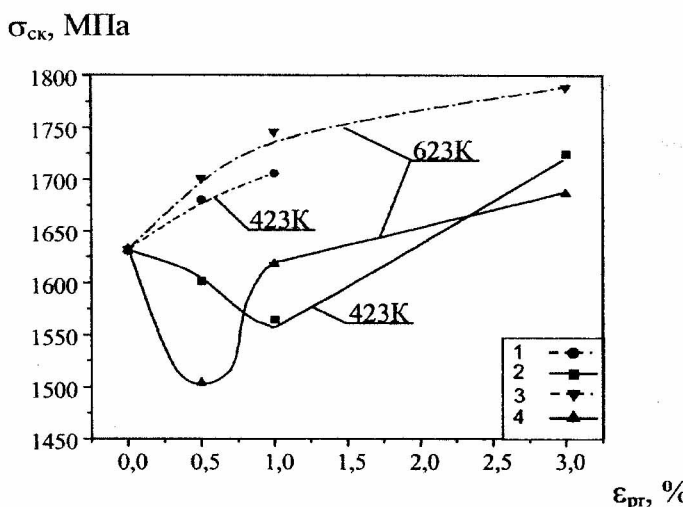


Рис. 4. Залежність напруження сколювання σ_{cr} сталі 15Х2МФА від попередньої пластичної деформації розтягом (1, 3) і комбінованим розтягом (2, 4) при 423 К (1, 2) і 623 К (3, 4) і $\Delta\sigma = 90,0$ МПа (2), $\Delta\sigma = 110$ МПа (4)

З рис. 4 випливає, що попереднє пластичне деформування розтягом при температурі 423К...623К збільшує напруження сколювання σ_{cr} сталі 15Х2МФА у порівнянні з первісним матеріалом. Треба зазначити, що більш істотне збільшення напруження сколювання спостерігається після деформування при температурі 623К. Проте вплив попереднього комбінованого навантаження при температурі 423К і 623К на напруження сколювання залежить від величини пластичної деформації. При деформуванні комбінованим розтягом до $\epsilon_{pr}=0,5\%$ (623К) і $1,0\%$ (423К) напруження сколювання σ_{cr} зменшується у порівнянні з недеформованим матеріалом. Мінімальне значення σ_{cr} досягає у точках, де $\epsilon_{pr}=0,5\%$; $T=623\text{K}$ та $\epsilon_{pr}=1,0\%$; $T=423\text{K}$ (рис. 4). При збільшенні попередньої деформації комбінованим розтягом до 3,0 % напруження сколювання зростає для обох температур.

Залежність напруження сколювання від розмаху циклічної складової напруження $\Delta\sigma$ під час попереднього комбінованого розтягу наведена на рис. 5.

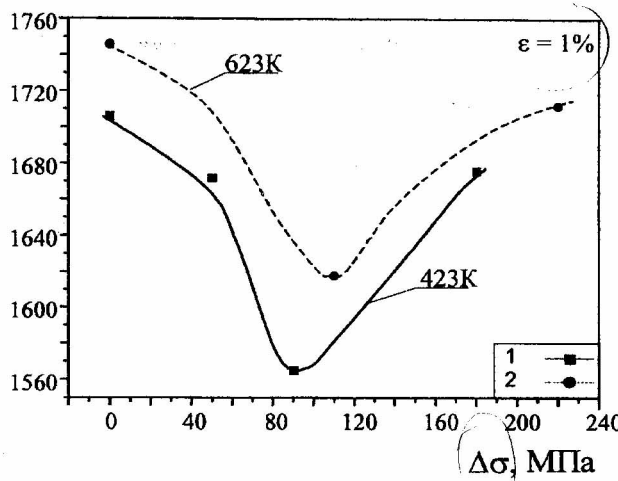
σ_{ck} , МПа

Рис. 5. Залежність напруження сколювання від розмаху напруження попереднього пластичного деформування до $\epsilon_{pr} = 1,0 \%$ при 423К (1) і 623К (2)

Збільшення розмаху напруження до 90,0 МПа і 110 МПа відповідно при температурі 423К і 623К зменшує на 8...10 % напруження сколювання порівняно з недеформованим матеріалом. Подальше зростання $\Delta\sigma$ до 180 МПа і 220 МПа відповідно при 423К і 623К збільшує σ_{ck} , однак воно залишається меншим у порівнянні з σ_{ck} недеформованого матеріалу.

На рис. 6 показана залежність $\sigma_{0,2}$ від розмаху напружень при 623 і 423К. Виявлено зменшення умовної границі текучості $\sigma_{0,2}$ із зростанням розмаху напружень $\Delta\sigma$ при комбінованому розтязі за температури попереднього пластичного деформування 623К (1) і 423К (2). Треба зазначити, що із збільшенням температури ППД границя текучості $\sigma_{0,2}$ сталі 15Х2МФА зменшується.

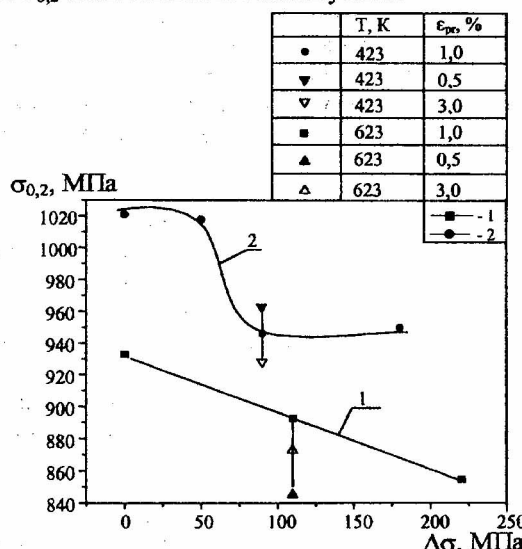
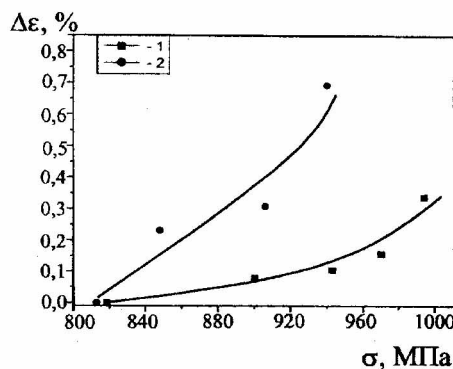


Рис. 6. Залежність $\sigma_{0,2}$ від розмаху напружень при температурі попереднього деформування 623К (1) і 423К (2)

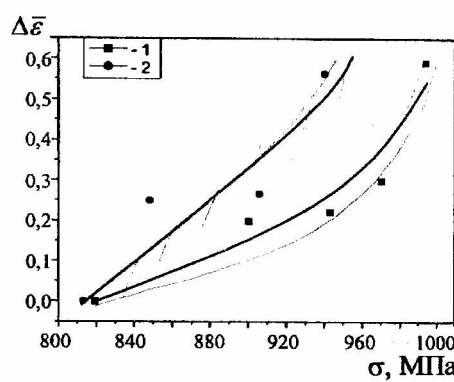
Для опису процесу інтенсифікації пластичної деформації за комбінованого розтягу нами запропоновано параметр $\Delta\bar{\varepsilon} = \Delta\varepsilon / \varepsilon_p$, тут $\Delta\varepsilon = \varepsilon_{kp} - \varepsilon_p$, ε_{kp} і ε_p – пружнопластична деформація відповідно при деформації комбінованим розтягом і розтягом при рівних напруженнях (рис. 2).

Аналіз експериментальних даних свідчить, що комбінований розтяг істотно збільшує пластичну деформацію $\Delta\varepsilon$ за одинакових напружень (рис. 7а). Причому більш істотне зростання $\Delta\varepsilon$ під дією комбінованого навантаження спостерігається при температурі 623К порівняно із 423К.

Із збільшенням напруження комбінованим ППД параметр $\Delta\bar{\varepsilon}$ зростає як при $T = 623\text{K}$ (2), так і при $T = 423\text{K}$ (1) (рис. 7б).



а



б

Рис. 7. Залежність $\Delta\varepsilon$ (а) і $\Delta\bar{\varepsilon}$ (б) від напруження комбінованого ППД при $T = 423\text{K}$, $\varepsilon_{pr} = 1,0\%$ (1) та при $T = 623\text{K}$, $\varepsilon_{pr} = 3,0\%$ (2)

Висновки

1. Попередня пластична деформація розтягом при 423К і 623К збільшує напруження сколювання сталі 15Х2МФА порівняно з недеформованим матеріалом. Проте характер впливу попереднього комбінованого розтягу на напруження сколювання залежить від рівня пластичної деформації. При комбінованому розтязі до $\varepsilon_{pr} = 1,0\%$ при $T = 423\text{K}$ та $0,5\%$ при $T = 623\text{K}$ напруження сколювання зменшується порівняно з первісним матеріалом. Подальше збільшення ППД приводить до зростання σ_{ck} у порівнянні з первісним матеріалом, але у всіх випадках напруження сколювання при комбінованому розтязі залишається меншим, ніж після попереднього деформування розтягом.
2. Як в умовах попереднього розтягу, так і комбінованого розтягу більше зростання напруження сколювання спостерігається після деформування при температурі 623К в порівнянні з 423К. Збільшення розмаху напружень до $\Delta\sigma = 90,0\ldots110\text{ MPa}$ зменшує на 8...10% напруження сколювання сталі 15Х2МФА порівняно з недеформованим матеріалом. Подальше збільшенням розмаху до $\Delta\sigma = 180$ (220) MPa при температурі 423 (623)К збільшує σ_{ck} .
3. При зростанні напруження ППД при температурі 423К та 623К різниця між пластичною деформацією при комбінованому розтязі і розтязі збільшується до 0,3% і 0,7% відповідно.

The influence of preliminary combined tensile deformation on cleavage stress of steel 15Ch2MFA in a condition which simulates radiating embrittlement of a material of the case reactor such as WWER-440 by the end of the reactor vessel operating life is investigated.

Робота виконана за рахунок бюджетних коштів Державного фонду фундаментальних досліджень по темі Ф7/348-2001.

Література

1. Троценко В.Т., Красовский А.Я., Синявский Д.П. и др. Влияние истории деформирования и асимметрии цикла нагружения на характеристики циклической вязкости разрушения сплава ВТ9//Пробл. прочности. – 1982. - №12.-С.3-6.
2. Троценко В.Т., Красовский А.Я., Синявский Д.П. и др. Влияние истории деформирования на характеристики циклической вязкости разрушения сплава ВТ9//Пробл. прочности. – 1982. - №4.-С.28-32.
3. Paris P.C., Gomez M.P., Anderson W.E. A ration analytic theory of fatigue// The Trend in Engineering the University of Washington.- 1961.- 13, № 1 – P.9-14.
4. Троценко В.Т., Покровский В.В. Влияние циклического нагружения на характеристики трещиностойкости сталей. Сообщ. 2//Пробл. прочности. – 1980. - №12. – С.14-17.
5. Карзов Г.П., Марголин Б.З., Швецова В.А. Физико-механическое моделирование процессов разрушения. – СПб.: Политехника, 1993. – 391 с.
6. Троценко В.Т., Покровский В.В., Каплуненко В.Г. Прогнозирование трещиностойкости теплостойких сталей с учетом влияния размеров образцов. Сообщение 1. Результаты экспериментальных исследований//Пробл. прочности. – 1997. - №1.-С.5 – 20.
7. Roman I., Ono Kanji. Model for fracture toughness alteration due to cyclic loading//Int. J. of Fract. – 1982. – №19. - P.67-80.
8. Ясній П.В. Пластично деформовані матеріали: втома і тріщинотривкість. – Львів: Світ, 1998. – 292 с.

Одержано 02.09.2004 р.

УДК. 539.3

В. Габрусєв¹; І. Габрусєва¹; Н. Твардовська²

¹Тернопільський державний технічний університет імені Івана Пулюя,

²Тернопільський національний педагогічний університет імені Володимира Гнатюка

ДВІ ОСЕСИМЕТРИЧНІ ЗАДАЧІ ТЕРМОПРУЖНОСТІ З КРУГОВИМИ ЛІНІЯМИ РОЗДІЛУ ГРАНИЧНИХ УМОВ ДЛЯ ТРАНСВЕРСАЛЬНО ІЗОТРОПНОГО ШАРУ

Розроблено алгоритм дослідження напруженого стану, що виникає в трансверсально ізотропному шарі в результаті теплообміну за законом Ньютона між шаром та зовнішніми середовищами при наявності ліній розділу граничних умов третього роду для температури, як на одній, так і на обох граничних площинах шару.

Вступ. В сучасній техніці багато споруд, деталей машин та вузлів приладів працюють в умовах значних теплових навантажень. Виникаючі при цьому температурні напруження можуть набувати критичних значень і відігравати вирішальну роль при розрахунках на міцність. В з'язку з цим задачі термоупружності, які набули особливого розвитку в середині минулого століття [1,2], не втрачають актуальності і в наші дні. Метою запропонованої роботи є розробка алгоритму дослідження напруженого стану в задачах термоупружності при наявності ліній розділу граничних умов третього роду для температури на граничних площинах трансверсально ізотропного шару.

Постановка задачі. Розглянемо плоскопаралельний, трансверсально ізотропний шар скінченної товщини $2h$. Будемо вважати, що граничні площини шару паралельні до площин ізотропії і вільні від зовнішніх навантажень. Між точками граничних площин шару і зовнішніми середовищами здійснюється теплообмін за законом